

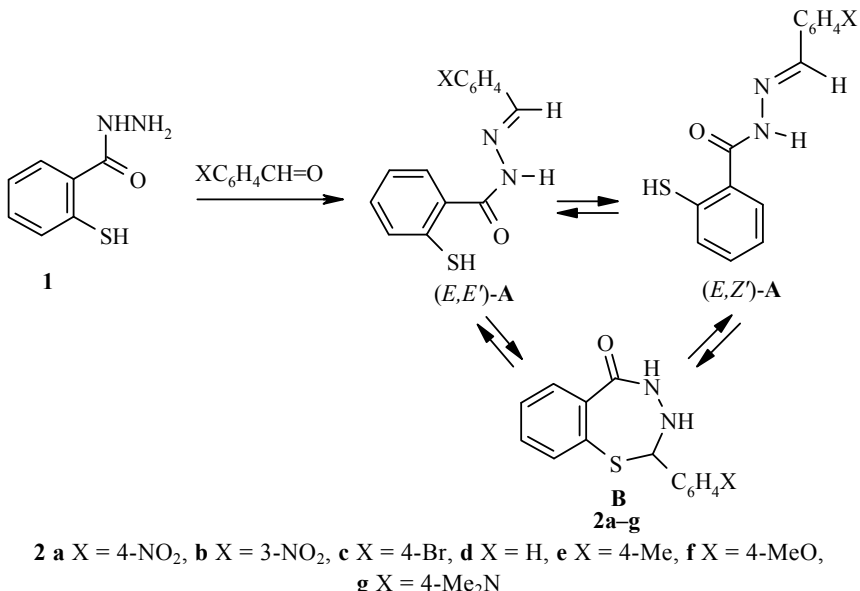
**Б. В. Черница, А. Ю. Ершов\*, В. А. Дорошенко, С. И. Якимович<sup>a</sup>,  
И. В. Лагода<sup>b</sup>, И. В. Зерова<sup>a</sup>, В. В. Пакальник<sup>a</sup>, В. В. Шаманин**

**КОЛЬЧАТО-ЦЕПНАЯ ТАУТОМЕРИЯ  
2-МЕРКАПТОБЕНЗОИЛГИДРАЗОНОВ АРОМАТИЧЕСКИХ  
АЛЬДЕГИДОВ**

Методом спектроскопии ЯМР  $^1\text{H}$  показано, что 2-меркаптобензоилгидразоны ароматических альдегидов  $2-\text{HSC}_6\text{H}_4\text{CONHN}=\text{CHC}_6\text{H}_4\text{X}$  ( $\text{X} = \text{4-NO}_2, \text{3-NO}_2, \text{4-Br}, \text{H}, \text{4-Me}, \text{4-MeO}, \text{4-Me}_2\text{N}$ ) существуют в растворе  $\text{DMCO-d}_6$  в виде таутомерной смеси линейной и циклической бензо-1,3,4-тиадиазепиновой форм. Линейная гидразонная форма представлена  $(E,Z)$ -конформационными изомерами, отличающимися расположением относительно амидной связи  $\text{C}-\text{N}$ . Показано, что логарифмы констант таутомерного равновесия  $K_{\text{T}}$  коррелируют с  $\sigma$ -константами заместителей в ароматическом ядре.

**Ключевые слова:** бензо-1,3,4-тиадиазепины, 2-меркаптобензоилгидразоны, кольчено-цепная таутомерия, уравнение Гамметта.

Ранее было показано, что 2-меркаптобензоилгидразоны алифатических альдегидов существуют в растворах в виде таутомерной смеси линейной и циклической бензо-1,3,4-тиадиазепиновой форм; положение равновесия определяется эффективным объемом концевого алкильного заместителя [1].



Целью данной работы, являющейся продолжением предыдущих исследований, было изучение строения продуктов конденсации гидразида 2-меркаптобензойной кислоты с серией ароматических альдегидов, а также влияния электронных свойств заместителя в ароматическом кольце альдегидной составляющей на положение таутомерного равновесия.

Соединения **2a–g** были получены с выходами 65–90% после непродолжительного выдерживания эквимолярных количеств гидразида 2-меркаптобензойной кислоты **1** и соответствующего ароматического альдегида в метанольном растворе при 25 °C (см. табл. 1 и экспериментальную часть).

В спектрах ЯМР <sup>1</sup>H растворов в DMSO-d<sub>6</sub> всех синтезированных соединений имеются сигналы, отвечающие как линейной А, так и циклической

Таблица 1

**Физико-химические характеристики соединений 2a–g и 3a–g**

Соединение	Брутто-формула	Найдено, %			Т. пл., °C	Выход, %
		C	H	N		
<b>2a</b>	C <sub>14</sub> H <sub>11</sub> N <sub>3</sub> O <sub>3</sub> S	<u>55.87</u> 55.80	<u>3.60</u> 3.68	<u>13.89</u> 13.95	207–209	80
<b>2b</b>	C <sub>14</sub> H <sub>11</sub> N <sub>3</sub> O <sub>3</sub> S	<u>55.76</u> 55.80	<u>3.73</u> 3.68	<u>14.04</u> 13.95	206–208	85
<b>2c</b>	C <sub>14</sub> H <sub>11</sub> BrN <sub>2</sub> OS	<u>50.21</u> 50.16	<u>3.27</u> 3.31	<u>8.41</u> 8.36	189–191	70
<b>2d</b>	C <sub>14</sub> H <sub>12</sub> N <sub>2</sub> OS	<u>65.67</u> 65.60	<u>4.67</u> 4.72	<u>11.02</u> 10.93	161–163	75
<b>2e</b>	C <sub>15</sub> H <sub>14</sub> N <sub>2</sub> OS	<u>66.58</u> 66.64	<u>5.28</u> 5.22	<u>10.30</u> 10.36	174–176	85
<b>2f</b>	C <sub>15</sub> H <sub>14</sub> N <sub>2</sub> O <sub>2</sub> S	<u>63.01</u> 62.92	<u>4.86</u> 4.93	<u>9.82</u> 9.78	166–168	80
<b>2g</b>	C <sub>16</sub> H <sub>17</sub> N <sub>3</sub> OS	<u>64.24</u> 64.19	<u>5.67</u> 5.72	<u>13.98</u> 14.04	170–172	65
<b>3a</b>	C <sub>28</sub> H <sub>20</sub> N <sub>6</sub> O <sub>6</sub> S <sub>2</sub>	<u>55.93</u> 55.99	<u>3.41</u> 3.36	<u>13.92</u> 13.99	258–260 257–258 [2]	90
<b>3b</b>	C <sub>28</sub> H <sub>20</sub> N <sub>6</sub> O <sub>6</sub> S <sub>2</sub>	<u>56.04</u> 55.99	<u>3.30</u> 3.36	<u>14.04</u> 13.99	261–263 263–264 [2]	90
<b>3c</b>	C <sub>28</sub> H <sub>20</sub> Br <sub>2</sub> N <sub>4</sub> O <sub>2</sub> S <sub>2</sub>	<u>50.28</u> 50.31	<u>2.96</u> 3.02	<u>8.43</u> 8.38	234–236	80
<b>3d</b>	C <sub>28</sub> H <sub>22</sub> N <sub>4</sub> O <sub>2</sub> S <sub>2</sub>	<u>65.91</u> 65.86	<u>4.29</u> 4.34	<u>11.05</u> 10.97	220–222	85
<b>3e</b>	C <sub>30</sub> H <sub>26</sub> N <sub>4</sub> O <sub>2</sub> S <sub>2</sub>	<u>66.94</u> 66.89	<u>4.91</u> 4.86	<u>10.38</u> 10.40	237–240	90
<b>3f</b>	C <sub>30</sub> H <sub>26</sub> N <sub>4</sub> O <sub>4</sub> S <sub>2</sub>	<u>63.07</u> 63.14	<u>4.64</u> 4.59	<u>9.77</u> 9.82	254–256 252–253 [2]	80
<b>3g</b>	C <sub>32</sub> H <sub>32</sub> N <sub>6</sub> O <sub>2</sub> S <sub>2</sub>	<u>64.35</u> 64.40	<u>5.36</u> 5.40	<u>14.12</u> 14.08	239–240 241–243 [2]	75

Таблица 2

**Спектры ЯМР  $^1\text{H}$  соединений 2a–g**

Соединение	Таутомерный состав, %	Химические сдвиги, $\delta$ , м. д. ( $J$ , Гц)		$K_T = [\mathbf{B}]/[\mathbf{A}]^*$
		HC=N, с или H-2, д	NH	
<b>2a</b>	(E,E')- <b>A</b> (6)	8.38	12.30 (уш. с)	0.754
	(E,Z')- <b>A</b> (51)	8.45	12.18 (уш. с)	
	<b>B</b> (43)	5.92 ( $J = 6.2$ )	6.41 (д. д, $J = 6.2, J = 2.5$ ), 9.70 (д, $J = 2.5$ )	
<b>2b</b>	(E,E')- <b>A</b> (6)	8.31	12.27 (уш. с)	0.695
	(E,Z')- <b>A</b> (53)	8.48	12.17 (уш. с)	
	<b>B</b> (41)	5.95 ( $J = 6.6$ )	6.43 (д. д, $J = 6.6, J = 2.7$ ), 9.71 (д, $J = 2.7$ )	
<b>2c</b>	(E,E')- <b>A</b> (9)	8.10	12.08 (уш. с)	0.587
	(E,Z')- <b>A</b> (54)	8.33	11.95 (уш. с)	
	<b>B</b> (37)	5.74 ( $J = 6.8$ )	6.26 (д. д, $J = 6.8, J = 3.0$ ), 9.62 (д, $J = 3.0$ )	
<b>2d</b>	(E,E')- <b>A</b> (10)	8.13	12.02 (уш. с)	0.408
	(E,Z')- <b>A</b> (61)	8.36	11.88 (уш. с)	
	<b>B</b> (29)	5.73 ( $J = 6.6$ )	6.21 (д. д, $J = 6.6, J = 2.7$ ), 9.61 (д, $J = 2.7$ )	
<b>2e</b>	(E,E')- <b>A</b> (10)	8.09	11.95 (уш. с)	0.370
	(E,Z')- <b>A</b> (63)	8.10	11.81 (уш. с)	
	<b>B</b> (27)	5.68 ( $J = 6.8$ )	6.16 (д. д, $J = 6.8, J = 2.9$ ), 9.59 (д, $J = 2.9$ )	
<b>2f</b>	(E,E')- <b>A</b> (11)	8.06	11.88 (уш. с)	0.205
	(E,Z')- <b>A</b> (72)	8.29	11.75 (уш. с)	
	<b>B</b> (17)	5.67 ( $J = 7.0$ )	6.14 (д. д, $J = 7.0, J = 2.7$ ), 9.57 (д, $J = 2.7$ )	
<b>2g</b>	(E,E')- <b>A</b> (13)	7.98	11.58 (уш. с)	0.075
	(E,Z')- <b>A</b> (80)	8.20	11.71 (уш. с)	
	<b>B</b> (7)	5.61 ( $J = 7.0$ )	6.05 (д. д, $J = 7.0, J = 3.9$ ), 9.55 (д, $J = 3.9$ )	

\* [A] – суммарное содержание форм (E,E')-**A** и (E,Z')-**A**.

бензо-1,3,4-тиадиазепиновой **B** таутомерным формам; при этом в спектрах сигналы линейного таутомера удвоены.

Наблюдаемое удвоение сигналов линейной формы **A** в спектрах ЯМР  $^1\text{H}$  соединений 2a–g следует связать с наличием конформационных (E',Z')-изомеров, различающихся расположением заместителей относительно амидной связи C–N; при этом основному изомеру следует

приписать (*E,Z*)-построение, а минорному изомеру (*E,E'*)-пространственное расположение. Существование (*E,Z*)-конфигурационной изомерии относительно связи C=N нами не рассматривалось, поскольку альдоацилгидразоны существуют преимущественно или полностью в (*E*)-конфигурации относительно этой связи [3–5].

Отнесение сигналов (*E,E'*)- и (*E,Z*)-изомеров линейной формы **A** основано на известном различии в положении сигналов азометиновых протонов конформационных (*E',Z*)-изомеров в спектрах ЯМР  $^1\text{H}$ ; сигналы (*E'*)-изомера этой группы располагаются в более слабых полях, чем аналогичные сигналы (*Z*)-изомера (табл. 2). Обратное значение обоих сигналов в спектрах ЯМР  $^1\text{H}$  наблюдается для протонов группы NHCO (*E',Z'*)-конформеров [6]. Учитывая сказанное выше, можно утверждать, что основный изомер имеет (*E,Z*)-построение, а минорный изомер – (*E,E'*)-пространственное расположение.

О существовании в растворе ДМСO-d<sub>6</sub> циклической формы **B** можно судить по дублетным сигналам протонов H-2 и NHCO при 5.8 и 9.6 м. д., соответственно, а также по дублет-дублетному сигналу протона группы NH при 6.2 м. д., которой обусловлен спин-спиновым взаимодействием с протонами в положениях 2 и 4 семичленного бензо-1,3,4-тиадиазепинового гетероцикла.

Введение электроноакцепторных заместителей в ароматическое кольцо альдегидной составляющей приводит к смещению кольчато-цепного равновесия **A**↔**B** в сторону циклической бензо-1,3,4-тиадиазепиновой формы (табл. 2), при этом наблюдается линейная корреляция логарифмов констант таутомерного равновесия  $K_T$  с  $\sigma$ -константами Гамметта [7, 8]; использование  $\sigma^+$ -констант Брауна [8] улучшает корреляцию (табл. 3).

Подобная закономерность объясняется тем, что электроноакцепторные заместители усиливают электрофильность атома углерода связи C=N, присоединение к которой SH-функции приводит к образованию бензо-1,3,4-тиадиазепинового таутомера **B**. Конформационное равновесие внутри линейного таутомера в меньшей степени чувствительно к природе заместителя в ароматическом кольце; по-видимому, в обеих линейных формах (*E,E'*)-**A** и (*E,Z*)-**A** реализуются идентичные системы сопряжения, одинаковым образом реагирующие на изменение электронных параметров заместителя.

Соединения **2a–g** склонны к окислению с образованием продуктов димеризации **3a–g**, имеющих линейное бис-гидразонное строение. Этот

Таблица 3

**Корреляция логарифмов констант таутомерного равновесия  $K_T$  с константами Гаммета  $\sigma$  и Брауна  $\sigma^+$  по уравнению:  $\lg K_T = A + B \cdot X$**

$X$	$A$	$B$	$r$	$s_D$	$n$
$\sigma$	$-0.520 \pm 0.043$	$0.614 \pm 0.081$	0.959	0.112	7
$\sigma^+$	$-0.406 \pm 0.028$	$0.423 \pm 0.034$	0.987	0.064	6

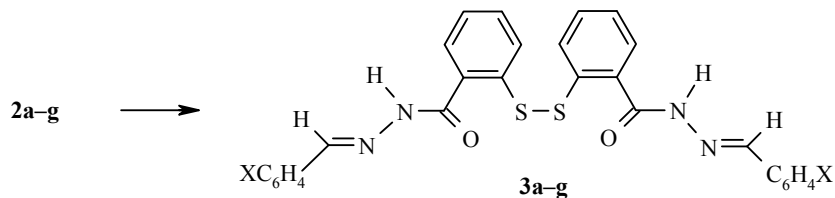
Таблица 4

**Спектры ЯМР  $^1\text{H}$  соединений **3a–g****

Соединение	Химические сдвиги, $\delta$ , м. д.		
	HC=N (с)	NH (2H, уш. с)	Ar (м)
<b>3a</b>	8.50	12.37	7.26–8.50 (16H)
<b>3b</b>	8.52	12.34	7.26–8.28 (16H)
<b>3c</b>	8.38	12.14	7.24–7.76 (16H)
<b>3d</b>	8.41	12.07	7.32–7.75 (18H)
<b>3e</b>	8.36	12.00	2.28 (6H, с, 2CH <sub>3</sub> ); 7.13–7.74 (16H)
<b>3f</b>	8.34	11.93	3.81 (6H, с, 2CH <sub>3</sub> O); 7.02–7.71 (16H)
<b>3g</b>	8.25	11.77	3.04 (6H, с, 2CH <sub>3</sub> N); 6.75–7.72 (16H)

процесс, судя по съёмке спектров ЯМР <sup>1</sup>H во времени, начинается через 3–5 ч после растворения соединений **2a–g** в DMSO-d<sub>6</sub> и заканчивается через несколько суток количественным образованием димеров **3a–g**.

Соединения **3a–g** также можно получить с высокими выходами при обработке метанольных растворов 2-меркаптобензоилгидразонов **2a–g** 5% раствором H<sub>2</sub>O<sub>2</sub> (экспериментальная часть). В спектрах ЯМР <sup>1</sup>H соединений **3a–g** наблюдается один набор резонансных сигналов, отвечающий конформационному (*E,Z*)-изомеру относительно амидной связи C–N (табл. 4).



**3 a** X = 4-NO<sub>2</sub>, **b** X = 3-NO<sub>2</sub>, **c** X = 4-Br, **d** X = H, **e** X = 4-Me, **f** X = 4-MeO,  
**g** X = 4-Me<sub>2</sub>N

Таким образом, в отличие от известных в литературе [9, 10] продуктов конденсации ароматических альдегидов с гидразидами 2-гидрокси- и 2-аминобензойной кислот, 2-меркаптобензоилгидразоны проявляют склонность к циклизации с образованием семичленного бензо-1,3,4-тиадиазепинового цикла. Это естественное отражение значительно большей нуклеофильности атома серы по сравнению с атомами кислорода и азота OH- и NH-функций в гидразонах, полученных при использовании гидразидов 2-гидрокси- и 2-аминобензойной кислот. В этом отношении 2-меркаптобензоилгидразоны **2a–g** близки к исследованным нами ранее продуктам конденсации ароматических альдегидов с гидразидами тиобензойной и тиогликолевой кислот, для которых внутримолекулярная атака атомом серы по связи C=N гидразонного фрагмента приводит к образованию 1,3,4-тиадиазолинового [11] и 1,3,4-тиадиазинового [12] циклов соответственно.

## ЭКСПЕРИМЕНТАЛЬНАЯ ЧАСТЬ

Спектры ЯМР <sup>1</sup>H снимались на спектрометре Bruker AV-400 (400 МГц) в

ДМСО-d<sub>6</sub>, внутренний стандарт ГМДС. Количественный состав таутомерных форм определялся интегрированием соответствующих сигналов в спектрах ЯМР <sup>1</sup>H; погрешность измерения ± 1%. Контроль протекания реакций и чистоты полученных соединений осуществлялся методом ТСХ на пластинках марки Silufol UV-254 в системах бензол–ацетон, 4:1.

Гидразид 2-меркаптобензойной кислоты **1** получен по известной методике [2].

**2-Меркаптобензоилгидразоны ароматических альдегидов 2a–g.** Смесь 10 ммоль карбонильного соединения и 1.68 г (10 ммоль) гидразида 2-меркаптобензойной кислоты **1** в 50 мл метанола выдерживают при 25 °C в течение 2 ч. Выпавшие кристаллы отфильтровывают, промывают эфиром и сушат.

**2,2'-Дитиобензоилгидразоны ароматических альдегидов 3a–g.** К раствору 5 ммоль соединения **2a–g** в 5 мл метанола добавляют 0.5 мл 5% раствора H<sub>2</sub>O<sub>2</sub> и выдерживают при 25 °C в течение 2 ч. Выпавшие кристаллы отфильтровывают, промывают эфиром и сушат.

## СПИСОК ЛИТЕРАТУРЫ

1. А. Ю. Ершов, И. В. Лагода, М. В. Мокеев, С. И. Якимович, И. В. Зерова, В. В. Пакальник, В. В. Шаманин, *XTC*, 460 (2008). [*Chem. Heterocycl. Comp.*, **44**, 356 (2008)].
2. L. Katz, L. S. Karger, W. Schroeder, M. S. Cohen, *J. Org. Chem.*, **18**, 1380 (1953).
3. Ю. П. Китаев, Б. И. Бузыкин, *Гидразоны*, Наука, Москва, 1974, с. 381.
4. Н. А. Парпиев, В. Г. Юсупов, С. И. Якимович, Х. Т. Шарипов, *Ацилгидразоны и их комплексы с переходными металлами*, Фан, Ташкент, 1988, с. 163.
5. G. J. Karabatsos, J. D. Draharn, F. M. Vane, *J. Am. Chem. Soc.*, **84**, 753 (1962).
6. К. Н. Зеленин, С. В. Олейник, В. В. Алексеев, А. А. Потехин, *ЖОХ*, **71**, 1182 (2001).
7. Ю. А. Жданов, В. И. Минкин, *Корреляционный анализ в органической химии*, Изд-во Рост. ун-та, Ростов-на-Дону, 1966, с. 470.
8. H. C. Brown, Y. Okamoto, *J. Am. Chem. Soc.*, **80**, 4979 (1958).
9. А. В. Долгарев, В. В. Лукачина, О. И. Карпова, *Журн. аналит. химии*, **29**, 721 (1974).
10. С. А. Флегонтов, З. С. Титова, А. П. Столяров, Б. И. Бузыкин, Ю. П. Китаев, *Изв. АН СССР. Сер. хим.*, 1014 (1979).
11. К. Н. Зеленин, В. В. Алексеев, *XTC*, 571 (1992). [*Chem. Heterocycl. Comp.*, **28**, 481 (1992)].
12. А. Ю. Ершов, И. В. Лагода, С. И. Якимович, В. В. Пакальник, И. В. Зерова, А. В. Добродумов, В. В. Шаманин, *ЖОрХ*, **45**, 678 (2009).

Институт высокомолекулярных соединений РАН,  
Санкт-Петербург 199004, Россия  
e-mail: ershov305@mail.ru

Поступило 21.01.2010

<sup>a</sup>Санкт-Петербургский государственный университет,  
Санкт-Петербург 198504, Россия  
e-mail: viktoriapakalnis@mail.ru

<sup>b</sup>Научно-исследовательский испытательный  
центр (медицинско-биологической защиты)  
Государственного научно-исследовательского  
испытательного института военной медицины МО РФ,  
Санкт-Петербург 195043, Россия  
e-mail: lagodai@peterstar.ru